

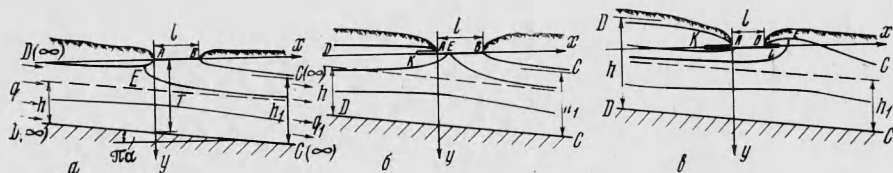
К ЗАДАЧЕ О КАНАЛЕ (ДРЕНЕ) НАД ПОТОКОМ ГРУНТОВЫХ ВОД ПО НАКЛОННОМУ ВОДОУПОРУ

В. Н. Эмих, Е. М. Эмих

(Новосибирск)

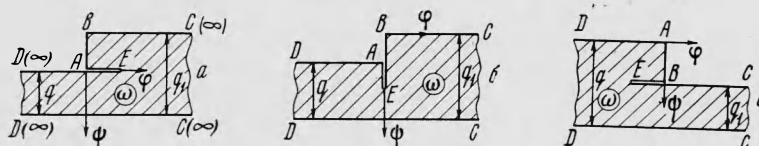
На основе формул, полученных ранее С. Н. Нумеровым [2] для случая установившейся фильтрации в однородном изотропном грунте, выполнены расчеты по программе для ЭВМ М-20, позволяющие сделать некоторые заключения о влиянии физических параметров задачи на фильтрационные характеристики потока.

1. Постановка задачи и вид решения. В естественных условиях верхний горизонт, содержащий грунтовые воды, иногда подстилается наклонным водоупором. Его уклон обуславливает поток грунтовых вод. Известно ([1], гл. X, § 5), что в стационарном состоянии свободная поверхность такого потока в неограниченной области параллельна водоупору. При создании же оросительных каналов или дрен форма потока изменяется: в первом случае в зоне канала возникает подтопление, выражющееся в подъеме свободной поверхности, во втором — в окрестности дрены происходит понижение уровня грунтовых вод по сравнению с естественным состоянием. Ниже эта задача рассматривается главным образом для канала, т. е. применительно к условиям, которые могут возникнуть при орошении.



Фиг. 1. Область фильтрации z

При допущении малости глубины воды в канале (дрене), поперечное сечение которого представляет собой отрезок прямой, С. Н. Нумеров получил [2] методами теории функций решение задачи в виде зависимостей комплексной координаты $z = x + iy$ и приведенного (отнесенного к коэффициенту фильтрации) комплексного потенциала $\omega = \varphi + i\psi$ потока (φ — потенциал скорости, ψ — функция тока) от комплексного параметра $\zeta = \xi + i\eta$, областью изменения которого является полу平面 $\xi > 0$. При этом следует различать три возможности, для каждой из которых на фиг. 1—3 схематически изображены области z , ω и ζ .

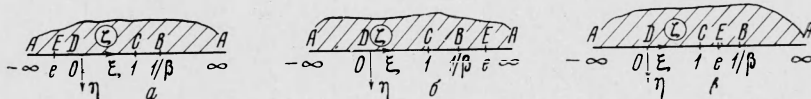


Фиг. 2. Область комплексного потенциала ω

а) Вода фильтруется в грунт из канала по всей его ширине (фиг. 1, а); при этом левая ветвь AD свободной поверхности имеет точку минимума E , а линия тока EC разделяет поток грунтовых вод и поток, фильтрующийся из канала. Этот случай возникает при следующем соотношении параметров задачи [1]:

$$h < h_1 \sqrt{1 - \beta} \quad (1.1)$$

где h — глубина потока слева на бесконечности, равная глубине грунтового потока при отсутствии канала; такой поток, следуя С. Н. Нумерову, будем называть естественным; h_1 — глубина потока справа на бесконечности; β — параметр, характеризующий положение точки B на действительной оси плоскости ζ (фиг. 3).



Фиг. 3. Вспомогательная полу平面 комплексного переменного ζ

б) Фильтрация в грунт проходит через некоторую часть дна канала EB (фиг. 1, б), участок же AE дренирует грунтовый поток, причем вдоль отрезка KA , представляющего дренажную щель, грунтовые воды поступают и снизу и сверху. Остальная часть потока, ограниченная сверху линией тока DEC , проходит мимо канала вниз по водоупору, сливааясь с водами, фильтрующимися из канала. Условия, при которых имеет место рассматриваемый случай, таковы:

$$h_1 \sqrt{1-\beta} < h < h_1 / \sqrt{1-\beta} \quad (1.2)$$

в) Происходит двусторонний приток к каналу, и таким образом, речь идет о дрене (фиг. 1, в). В этом случае, возникающем при условии

$$h > h_1 / \sqrt{1-\beta} \quad (1.3)$$

правая ветвь BC свободной поверхности имеет точку максимума, а дренажные щели существуют с обеих сторон отрезка AB . Часть потока, ограниченная сверху линией тока DEC , не попадает в дрену.

Решение С. Н. Нумерова охватывает все три перечисленные случая и при выборе координатных систем в соответствии с фиг. 1—3 имеет следующий вид:

$$\begin{aligned} z = & -T \operatorname{ctg} \pi \alpha + q + i \omega - \frac{\cos \pi \alpha}{\pi} \zeta^\alpha (\zeta - 1)^{1-\alpha} \int_0^1 \frac{t^{-\alpha} (1-t)^{\alpha-1} \varphi(t)}{t - \zeta} dt \\ \omega = & i (q - q_1) + \frac{2}{\pi} q_1 \operatorname{arsh} \sqrt{\frac{1-\beta}{\beta(\zeta-1)}} - \frac{2}{\pi} q \operatorname{arsh} \sqrt{\frac{1}{\beta \zeta}} \\ \varphi(t) = & \frac{2}{\pi} q_1 \operatorname{arsh} \sqrt{\frac{1-\beta}{\beta(1-t)}} - \frac{2}{\pi} q \operatorname{arsh} \sqrt{\frac{1}{\beta t}} \end{aligned} \quad (1.4)$$

$$q = h \sin \pi \alpha \cos \pi \alpha, \quad q_1 = h_1 \sin \pi \alpha \cos \pi \alpha \quad (1.5)$$

Здесь T — глубина водоупора от дна канала под началом координат; $\pi \alpha$ — угол наклона водоупора к горизонтальной плоскости; q и q_1 — величины приведенных расходов потока в его верховой и низовой частях соответственно; эти величины связаны с параметрами h и h_1 соотношениями (1.5).

Среди геометрических характеристик, входящих в решение (1.4), естественно задать в качестве исходных параметры T , α и h (или q). Величина же h_1 и связанный с ней вторым равенством (1.5) параметр q_1 являются искомыми и в свою очередь служат для определения приведенного фильтрационного расхода q_0 из канала на единицу его длины

$$q_0 = q_1 - q = (h_1 - h) \sin \pi \alpha \cos \pi \alpha \quad (1.6)$$

Помимо q_1 , неизвестным является и параметр β конформного отображения. Для их определения С. Н. Нумеров предлагает использовать следующие два условия (фиг. 1, 3):

$$z(\infty) = 0, \quad z(1/\beta) = l \quad (1.7)$$

Согласно второму равенству (1.3) имеем

$$\omega(\infty) = 0, \quad \omega(1/\beta) = i(q - q_1) \quad (1.8)$$

Из первой формулы (1.4) с учетом равенств (1.5), (1.7) и (1.8) получаются следующие соотношения:

$$h - T \frac{1}{\sin^2 \pi \alpha} + \frac{2 \cos \pi \alpha}{\pi^2} \int_0^1 \frac{(1-t)^{\alpha-1}}{t^\alpha} f(t) dt = 0 \quad (1.9)$$

$$\sin \pi \alpha \cos \pi \alpha \left[h_1 - T \frac{1}{\sin^2 \pi \alpha} + \frac{2 \cos \pi \alpha}{\pi^2} (1-\beta)^{1-\alpha} \int_0^1 \frac{(1-t)^{\alpha-1} f(t) dt}{t^\alpha (1-\beta t)} \right] = l \quad (1.10)$$

$$f(t) = h_1 \operatorname{arsh} \sqrt{\frac{1-\beta}{\beta(1-t)}} - h \operatorname{arsh} \sqrt{\frac{1}{\beta t}} \quad (1.11)$$

2. Описание вычислений и предварительных преобразований. Разрешим равенство (1.9) относительно h_1 :

$$\begin{aligned} h_1 = & \left[\frac{\pi_2}{\cos \pi \alpha} \left(\frac{T}{\sin^2 \pi \alpha} - h \right) + 2h \int_0^1 \frac{(1-t)^{\alpha-1}}{t^\alpha} \operatorname{ar ch} \sqrt{\frac{1}{\beta t}} dt \right] \times \\ & \times \left[2 \int_0^1 \frac{(1-t)^{\alpha-1}}{t^\alpha} \operatorname{ar sh} \sqrt{\frac{1-\beta}{\beta(1-t)}} \right]^{-1} \end{aligned} \quad (2.1)$$

Внося выражение (2.1) в (1.10), получим уравнение относительно параметра β . Обозначая левую часть этого уравнения через $F(\beta)$, запишем его в виде

$$F(\beta) = l \quad (2.2)$$

Первым этапом вычислений по программе, составленной авторами для ЭВМ М-20, является определение параметра β из интервала $(0,1)$ как корня уравнения (2.2). Эта процедура осуществляется методом половинного деления [3], гл. IV, § 3), который применим, если $F(\beta)$ — монотонная функция.

Так как $F(0) = 0$, $F(1) = \infty$, то $F(\beta)$ возрастает с изменением β от нуля до единицы. Вопрос о монотонном характере возрастания β , равносильный вопросу единственности решения уравнения (2.2), не удалось решить непосредственным дифференцированием $F(\beta)$ по β . Тем не менее, используя заключение о строго монотонном возрастании функции $F(\beta)$ в качестве гипотезы, основанной на интуитивных соображениях и результатах вычислений, т. е., принимая неравенство

$$\frac{dF(\beta)}{d\beta} = \frac{dl}{d\beta} > 0 \quad (2.3)$$

исследуем с физической точки зрения некоторые зависимости, получаемые из вышеприведенных формул.

Продифференцируем по β равенства (1.9) и (1.11)

$$\int_0^1 \frac{(1-t)^{\alpha-1}}{t^\alpha} \frac{\partial f(\beta, t)}{\partial \beta} dt = 0 \quad (2.4)$$

$$\frac{\partial f(\beta, t)}{\partial \beta} = \frac{dh_1}{d\beta} \operatorname{ar sh} \sqrt{\frac{1-\beta}{\beta(1-t)}} + \frac{1}{2\beta\sqrt{1-\beta t}} \left(h - \frac{h_1}{\sqrt{1-\beta}} \right) \quad (2.5)$$

Из (2.4) следует, что в интервале $(0,1)$ функция $\partial f(\beta, t) / \partial \beta$ является знакопеременной. Согласно же (2.5), это возможно только тогда, когда выражения $dh_1 / d\beta$ и $h - h_1 / \sqrt{1-\beta}$ противоположны по знаку; остальные члены правой части (2.5) положительны во всей области $\{(0 < t < 1) \times (0 < \beta < 1)\}$. Считая далее неравенство (2.3) справедливым, имеем

$$\frac{dh_1}{dl} > 0 \quad \text{при } h < \frac{h_1}{\sqrt{1-\beta}}, \quad \frac{dh_1}{dl} < 0 \quad \text{при } h > \frac{h_1}{\sqrt{1-\beta}} \quad (2.6)$$

Возвращаясь теперь к неравенствам (1.1) — (1.3), видим, что в случаях а) и б), когда из канала происходит фильтрация в грунт, по крайней мере, через некоторую часть его дна, глубина потока h_1 возрастает с увеличением l , т. е. с расширением фильтрующей части канала. Вторая пара неравенств (2.6), соответствующая случаю в), интерпретируется аналогично: при двустороннем притоке к дрене расширение ее приводит к более интенсивному поглощению ею грунтового потока, что выражается в уменьшении h_1 . Однако при некотором l убывание h_1 прекращается (это следует хотя бы из того, что при $l \rightarrow \infty$ имеем $\beta \rightarrow 1$ и согласно (2.1) $h_1 \rightarrow \infty$, и при дальнейшем возрастании l случай в) переходит в случай б).

По ходу вычисления β определяется параметр h_1 и вместе с ним по формуле (1.6) — величина q_0 ; затем программой предусмотрено вычисление координат точек свободной поверхности потока. Не приводя здесь параметрических уравнений свободной поверхности, которые для правой ее ветви BC ($1 < \zeta < 1/\beta$) непосредственно получаются разделением действительной и мнимой частей в первом уравнении (1.4), для левой же ветви AD ($-\infty < \zeta < 0$) — с предварительным преобразованием правой части этого уравнения при обходе особых точек, отметим один из основных моментов, связанных с приведением исходных формул в виду, пригодному для вычислений на ЭВМ.

Для точек свободной поверхности параметр ζ изменяется вне промежутка $[0, 1]$, и, следовательно, интеграл в правой части первого уравнения (1.4) не является сингулярным, но оказывается несобственным: подынтегральная функция имеет особенности на концах промежутка интегрирования. Поскольку интеграл вычисляется на ЭВМ чис-

ленно, по формуле Симпсона, эти особенности необходимо изолировать, для чего из промежутка $[0, 1]$ выделяются концевые промежутки $[0, \varepsilon]$ и $[1 - \varepsilon, 1]$. В оставшемся промежутке $[\varepsilon, 1 - \varepsilon]$ интеграл вычисляется на ЭВМ, для промежутков же $[0, \varepsilon]$ и $[1 - \varepsilon, 1]$ соответствующие интегралы представлены приближенными выражениями, которые затем программируются.

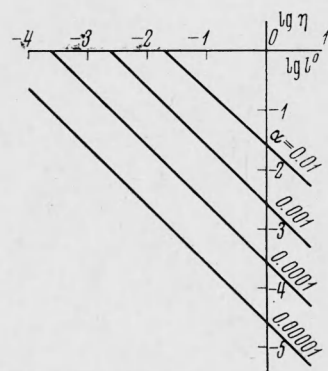
Программа вычислений, так же как и решение С. Н. Нумерова, на котором эта программа основана, пригодна для всех трех случаев, описанных в п. 1. При расчетах основное внимание было уделено случаям, характерным для практики орошения, когда $h < T$, т. е. имеет место один из случаев: а) или б) см. п. 1). Для каждого конкретного случая задаются параметры $l^0 = l / T$, $h^0 = h / T$ и α и в соответствии с этим получаются безразмерные значения геометрических характеристик потока (отнесенных к T) и фильтрационного расхода из канала

$$q_0^0 = q_0 / T = Q_0 / kT$$

где Q_0 — расход из канала на единицу его длины ($m^3 / сутки / 1 п.м.$), k — коэффициент фильтрации грунта ($m / сутки$).

3. Анализ результатов вычислений. Целью расчетов является изучение зависимостей величины q_0 фильтрационного расхода из канала и формы свободной поверхности потока от параметров l^0 , h^0 и α . Эти зависимости сводятся к следующему.

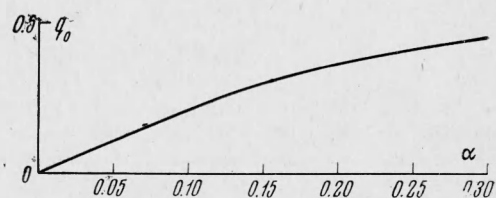
1) Изменение l^0 , которое при фиксированном T означает изменение ширины канала l , в условиях подпора весьма слабо отражается на величине фильтрационных характеристик. Иллюстрацией этого служат графики зависимости $\lg \eta$ от $\lg l^0$, построенные на фиг. 4 для $h^0 = 0.2$ и $\alpha = 10^{-2}, 10^{-3}, 10^{-4}, 10^{-5}$ на основании численных данных табл. 1. Величина



Фиг. 4. Зависимости $\lg \eta$ от $\lg l^0$ для $h^0 = 0.2$

$$\eta = \frac{q_0^0}{l^0} = \frac{Q_0}{kl} \quad (3.1)$$

названа С. Ф. Аверьяновым [4] коэффициентом подпора и представляет отношение фильтрационного расхода Q_0 из канала в рассматриваемом случае к расходу kl при свободной фильтрации.



Фиг. 5. Зависимость q_0^0 от α при $l^0 = 0.5$
 $h^0 = 0.3$

Приведенные на фиг. 4 зависимости $\lg \eta$ от $\lg l^0$ близки к прямым, угловые коэффициенты которых мало отличаются от минус единицы. Эти графики приближенно представимы уравнениями вида

$$\lg \eta \approx \lg A - (1 - \mu) \lg l^0 = \lg B - (1 - \mu) \lg l \quad (3.2)$$

где B и μ — постоянные. В отношении постоянной B будет сказано ниже, параметр μ — малая величина порядка $0.0001 \div 0.03$ (тем меньше, чем меньше α). В частности, для графиков на фиг. 4 значения параметра μ в порядке убывания таковы: 0.023, 0.002, 0.0002, 0.0001.

Потенцируя (3.2), получим

$$\eta \approx Bl^{\mu-1}$$

или, согласно (3.1)

$$q_0 \approx Bl^\mu \quad (3.3)$$

Равенство (3.3) непосредственно выражает факт слабой зависимости q_0 от l .

2) Зависимость q_0 от параметров h , T и α при малых α ($\alpha < 0.01$) носит линейный характер и может быть представлена приближенным равенством:

$$q_0 \approx \pi \alpha (T - h) \quad (3.4)$$

Таблица 1

Связь между l° , η и h_1° ($h^\circ=0.2$)

α	β	$6 \cdot 10^{-8}$	$24 \cdot 10^{-4}$	0.0156	0.125	0.354
10^{-5}	l°	$2.513 \cdot 10^{-5}$	$1.036 \cdot 10^{-4}$	0.005037	0.04252	0.1389
	η	1.0000	0.2426	0.004989	$5.910 \cdot 10^{-4}$	$1.810 \cdot 10^{-4}$
	h_1°	0.999856	0.999926	0.999956	0.999973	0.999985
	l°	$2.509 \cdot 10^{-4}$	$3.287 \cdot 10^{-4}$	0.005261	0.04274	0.1391
	η	1.0000	0.7638	0.04774	0.005878	0.001807
	h_1°	0.998567	0.999225	0.999558	0.999735	0.999846
10^{-4}	l°	$2.469 \cdot 10^{-3}$	$2.566 \cdot 10^{-3}$	$7.486 \cdot 10^{-2}$	$4.486 \cdot 10^{-2}$	0.1410
	η	0.9999	0.9700	0.3339	$5.584 \cdot 10^{-2}$	$1.778 \cdot 10^{-2}$
	h_1°	0.985845	0.992319	0.995610	0.997364	0.998464
10^{-3}	l°	0.02130	0.02299	0.02858	$6.540 \cdot 10^{-2}$	0.1603
	η	0.9999	0.9969	0.8334	0.3720	0.1539
	h_1°	0.878444	0.929881	0.958765	0.975009	0.985513
α	β	0.646	0.875	0.9844	0.99975586	0.999999941

α	β	0.354	0.646	0.875	0.9844	0.99975586	0.999999941
10^{-5}	l°	0.3310	0.6619	1.3239	2.6477	5.2957	
	η	$7.594 \cdot 10^{-5}$	$3.797 \cdot 10^{-5}$	$1.899 \cdot 10^{-5}$	$9.496 \cdot 10^{-6}$	$4.747 \cdot 10^{-6}$	
	h_1°	0.999995	1.000007	1.000028	1.000039	1.000152	
	l°	0.3312	0.6621	1.3242	2.6489	5.2998	
	η	$7.589 \cdot 10^{-4}$	$3.796 \cdot 10^{-4}$	$1.899 \cdot 10^{-4}$	$9.496 \cdot 10^{-5}$	$4.571 \cdot 10^{-5}$	
	h_1°	0.999949	1.000071	1.000281	1.000694	1.001526	
10^{-4}	l°	0.3330	0.6642	1.3280	2.6599	5.3408	
	η	$7.542 \cdot 10^{-3}$	$3.787 \cdot 10^{-3}$	$1.899 \cdot 10^{-3}$	$9.531 \cdot 10^{-4}$	$4.796 \cdot 10^{-4}$	
	h_1°	0.999948	1.000713	1.002816	1.006966	1.015370	
10^{-3}	l°	0.3513	0.6849	1.3654	2.7734	5.7741	
	η	$7.109 \cdot 10^{-2}$	$3.702 \cdot 10^{-2}$	$1.906 \cdot 10^{-2}$	$9.874 \cdot 10^{-3}$	$5.248 \cdot 10^{-3}$	
	h_1°	0.995587	1.007645	1.0289	1.072229	1.165203	

Таблица 2

Связь между l° , h_1° , η и величинами x_δ ($\delta = 0.1, 0.01, 0.001$)

α	h°	10^{-5}				10^{-4}			
		0.05	0.2	0.5	0.9	0.05	0.2	0.5	0.9
$\beta=6 \cdot 10^{-8}$	l°	$2.984 \cdot 10^{-5}$	$2.513 \cdot 10^{-5}$	$1.571 \cdot 10^{-5}$	$3.142 \cdot 10^{-6}$	$2.979 \cdot 10^{-4}$	$2.509 \cdot 10^{-4}$	$1.568 \cdot 10^{-4}$	$3.136 \cdot 10^{-5}$
	h_1°	0.9998	0.9999	0.9999	1.0000	0.9983	0.9986	0.9991	0.9998
	η	1.0000	1.0000	1.0000	1.0000	1.0000	1.0000	1.0000	1.0000
	$ x_{0.1} $	30672	35544	38597	—	3062,3	3547.8	3843.1	—
	$ x_{0.01} $	37205	53152	78297	69624	3705.9	5301.6	7804.1	6877.8
	$ x_{0.001} $	41144	68069	115164	135761	4109.7	6810.6	11526	13665
$\beta=0.999999941$	l°	5.2957	5.2957	5.2957	5.2957	6.2998	5.2998	5.2997	5.2997
	h_1°	1.0002	1.0002	1.0002	1.0002	1.0015	1.0015	1.0015	1.0015
	η	$5.637 \cdot 10^{-6}$	$4.797 \cdot 10^{-6}$	$1.967 \cdot 10^{-6}$	$5.941 \cdot 10^{-7}$	$5.640 \cdot 10^{-5}$	$4.751 \cdot 10^{-5}$	$2.973 \cdot 10^{-5}$	$6.018 \cdot 10^{-6}$
	$ x_{0.1} $	30677	35548	38599	—	3065.9	3572.9	3845.6	—
	$ x_{0.01} $	37211	53157	78301	69625	3726.0	5331.3	7807.2	6942.6
	$ x_{0.001} $	41150	68074	115167	135762	4114.8	6822.4	11529	13620
α	h°	10^{-3}				10^{-2}			
		0.05	0.2	0.5	0.9	0.05	0.2	0.5	0.2
$\beta=6 \cdot 10^{-8}$	l°	0.002932	0.002469	0.001543	0.0003086	0.02529	0.02130	0.01331	0.002664
	h_1°	0.9832	0.9858	0.9912	0.9082	0.8556	0.8784	0.9240	0.9848
	η	0.9999	0.9999	0.9999	0.9999	0.9999	0.9999	0.9999	0.9999
	$ x_{0.1} $	300.98	350.58	378.60	—	26.008	30.751	33.383	—
	$ x_{0.01} $	366.23	525.81	773.21	683.11	32.334	48.508	73584	65.661
	$ x_{0.001} $	405.78	674.63	1145.5	1350.9	36.234	63.714	112.30	135.12
$\beta=0.999999941$	l°	5.3411	5.3408	5.3404	5.3397	5.7769	5.7741	5.7685	5.7810
	h_1°	1.0154	1.0154	1.0154	1.0154	1.1653	1.1653	1.1650	1.1648
	η	$5.678 \cdot 10^{-4}$	$4.796 \cdot 10^{-4}$	$3.032 \cdot 10^{-4}$	$6.788 \cdot 10^{-5}$	0.00606	0.00525	0.00762	0.00144
	$ x_{0.1} $	306.44	365.91	384.98	—	30.780	36.162	39.416	—
	$ x_{0.01} $	371.81	779.56	695.98	37.183	37.183	53.353	78.418	74.449
	$ x_{0.001} $	411.38	681.87	1151.81	1359.8	41.804	68.567	118.24	145.89

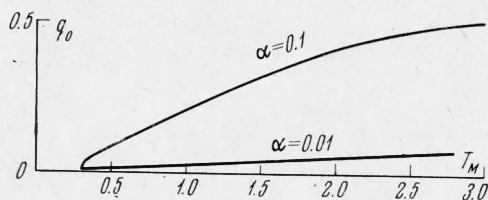
Это обстоятельство отмечено С. Н. Нумеровым [1] и нашло полное подтверждение в результате расчетов. Для иллюстрации соотношения (3.4) приводятся графики зависимости величины q_0 от параметров α (фиг. 5 при $l = 0.5, h = 0.3, T = 1$) и T (фиг. 6; при $l = 0.5, h = 0.3$). Как видно из фиг. 5, прямолинейный характер зависимости q_0 от α при малых α постепенно нарушается с ростом α . На фиг. 6 при $\alpha = 0.01$ график функции $q_0(T)$ является почти прямолинейным, в то время как для $\alpha = 0.1$ получается некоторая кривая. Однако значение $\alpha = 0.1$ (угол уклона равен 18°) уже выходит за рамки значений α , распространенных в практике.

Сравнивая (1.6) и (3.4), видим, что для малых α выполняется приближенное равенство $h_1 \approx T$, также отмеченное С. Н. Нумеровым [1] и подтвердившееся при вычислениях (табл. 1). Сопоставляя (3.3) и (3.4), получим приближенно

$$q_0 \approx \pi \alpha (T - h)^{h^0} (B = \pi \alpha (T - h)) \quad (3.5)$$

где u — малая постоянная.

3) Левая и правая ветви свободной поверхности потока имеют асимптоты, параллельные водоупору и отстоящие от него, соответственно, на расстояниях h и h_1 (фиг. 1).



Фиг. 6. Зависимости q_0 от T при $l = 0.5$ м, $h = 0.3$ м

Абсолютные величины этих значений (в силу выбора системы координат $x_\delta < 0$) приведены в табл. 2 для $\delta = 0.1, 0.01$ и 0.001 (линейные характеристики отнесены к T).

Величина Δy может служить мерой подтопления, в то время как x_δ , выражает дальность подтопления. Последнее понятие столь же условно, как и понятие радиуса влияния скважины в случае неограниченных размеров воронки депрессии. При изменении l величина x_δ меняется чрезвычайно слабо (особенно при малых α), поэтому в таблице для каждого из рассматриваемых значений α и h^0 приводятся только наименьшие и наибольшие значения $|x_\delta|$; первые отвечают минимальному значению параметра β из тех, для которых производились вычисления ($\beta \approx 6 \cdot 10^{-8}$); для вторых β максимально ($\beta \approx 1 - 6 \cdot 10^{-8}$). Так как при $h^0 = 0.9$ величина $\delta = 0.1$ равна глубине естественного потока и не может служить характеристикой подтопления, в соответствующих графах табл. 2 отсутствуют значения $|x_{0.1}|$. Для остальных же значений h^0 , фигурирующих в таблице, координата $|x_{0.1}|$ имеет порядок величины $(\pi \alpha)^{-1}$, определяющей расстояние точки пересечения водоупора с горизонтальной осью координат от канала.

4) В случае $h = 0$ расчетные формулы непосредственно получаются из уравнений для общего случая, если положить в них $q = 0$. Проведенные расчеты подтверждают приближенные соотношения, предложенные С. Н. Нумеровым для координат L и H точки выхода свободной поверхности на водоупор в верховой части потока

$$L \approx -T \operatorname{ctg} \alpha, \quad H \approx 0$$

Эти равенства указывают на то, что в рассматриваемом случае зона подтопления простирается до пересечения водоупора с горизонтальной осью координат, причем свободная поверхность в зоне подтопления является почти горизонтальной, а фильтрация практически отсутствует.

Поступила 19 IX 1967

ЛИТЕРАТУРА

- Полубаринова-Кочина П. Я. Теория движения грунтовых вод. М. Гос-техиздат, 1952.
- Нумеров С. Н. О фильтрации к горизонтальной дрене в случае наклонного водоупора. Л.—М., Изв. Всес. Научн.-исслед. ин-та гидротехн. им. Б. Е. Веденеева, 1951, т. 46.
- Демидович Б. П., Марон И. Л. Основы вычислительной математики. М., Физматгиз, 1960.
- Костяков А. Н., Фаворин Н. Н., Аверьянов С. Ф. Влияние орошательных систем на режим грунтовых вод. М., Изд-во АН СССР, 1956.